

SLAM Trick 1: Epipolar Constraints

陈烁龙

2022 年 5 月 2 日

目录

1	对极几何	3
2	恢复运动	3
2.1	基础矩阵的求解	3
2.1.1	假设检验	4
2.1.2	归一化	5
2.2	实验结果	6
2.3	恢复运动	7
3	三角化	9
4	GitHub	10

插图

1	对特征点进行归一化	6
2	原始图片	6
3	OpenCV 的匹配关系	7
4	假设检验的匹配关系	7

表格

摘要

在使用单目相机进行 *SLAM* 的时候，必不可少的一步就是初始化。由于单目相机的尺度是未知的，所以一般初始化的方式是通过极几何约束，解算出两帧图像之间的位姿变换，来进行初始化。

关键词：卡方检验，单目相机，对极几何

1 对极几何

对极几何描述了两张影像之间的位姿变换关系，通过解算得到的基础矩阵或者本质矩阵，我们可以从中恢复出位姿。

假设有两张影像 $Frame_1$ 和 $Frame_2$ ，其上有一已配对的特征点对 $p_1(u_1, v_1)$ 和 $p_2(u_2, v_2)$ ，且 p_1 对应的空间点在 $Frame_1$ 的相机坐标系下为 P 。现在我们要求解的是从 $Frame_1$ 到 $Frame_2$ 的位姿变化 R_{21} 和 t_{21} 。我们基于相机的帧孔模型，很容易写出如下的方程组：

$$\begin{cases} s_1 p_1 = K P \\ s_2 p_2 = K(R_{21} P + t_{21}) \end{cases} \quad (1)$$

其中 s_1 、 s_2 代表空间点 P 在各相机坐标系下对应的深度， K 表示相机的内参矩阵（其描述了像平面和归一化像素坐标平面的对应关系）。如果我们将像素点转到对应的归一化像素坐标平面上，也可以得到：

$$\begin{cases} s_1 X_1 = P \\ s_2 X_2 = R_{21} P + t_{21} \end{cases} \quad (2)$$

其中：

$$\begin{cases} X_1 = K^{-1} p_1 \\ X_2 = K^{-1} p_2 \end{cases} \quad (3)$$

即：

$$s_2 X_2 = s_1 R_{21} X_1 + t_{21} \quad (4)$$

对于上式，我们在其左右两边同时左乘 t_{21} 对应的反对称矩阵¹，则有：

$$s_2 t_{21}^\wedge X_2 = s_1 t_{21}^\wedge R_{21} X_1 \quad (5)$$

由于我们并不知道点对应的深度，所以我们需要将深度因子 s_1 、 s_2 消除。为此我们在上式左右两边同时左乘 X_2^T ，由于 $X_2^T t_{21}^\wedge X_2 = 0$ ，所以有：

$$\begin{aligned} 0 &= s_2 X_2^T t_{21}^\wedge X_2 = s_1 X_2^T t_{21}^\wedge R_{21} X_1 \\ &\rightarrow \begin{cases} X_2^T t_{21}^\wedge R_{21} X_1 = 0 \\ p_2^T K^{-T} t_{21}^\wedge R_{21} K^{-1} p_1 = 0 \end{cases} \end{aligned} \quad (6)$$

如果我们记： $E = t_{21}^\wedge R_{21}$ 、 $F = K^{-T} t_{21}^\wedge R_{21} K^{-1}$ ，则有：

$$\begin{cases} X_2^T E X_1 = 0 \\ p_2^T F p_1 = 0 \end{cases} \quad (7)$$

其中矩阵 E 被称为本质矩阵，矩阵 F 被成为基础矩阵，它们只相差了一个相机内参。

2 恢复运动

假设我们要利用本质矩阵 E 来恢复运动，我们可以先基于最小二乘法求解得到矩阵 E ，然后再利用 *SVD* 方法得到旋转矩阵 R_{21} 和平移向量 t_{21} 。

2.1 基础矩阵的求解

基础矩阵 F 的求解是基于上文的对极几何关系式 7 中的第二式来进行的。对于一对已配对的特征点对 $p_1(u_1, v_1)$ 和 $p_2(u_2, v_2)$ ，我们很容

¹假设有向量 $v(x, y, z)$ ，则其对应的反对称矩阵为：

$$v^\wedge = \begin{pmatrix} 0 & -z & y \\ z & 0 & -x \\ -y & x & 0 \end{pmatrix}$$

且有： $v^\wedge v = v \times v = 0$

易可以写出如下的关系式：

$$\begin{pmatrix} p_2 & p_2 & 1 \end{pmatrix} \begin{pmatrix} f_1 & f_2 & f_3 \\ f_4 & f_5 & f_6 \\ f_7 & f_8 & 1 \end{pmatrix} \begin{pmatrix} p_1 \\ p_1 \\ 1 \end{pmatrix} = 0 \quad (8)$$

由于对于式 7 左右乘以任意标量都不会破坏关系，因此我们直接将矩阵 F 的最后一个元素设为 1，这不会产生任何影响，只会方便我们求解。基于式 8 我们可以得到：

$$\begin{aligned} &u_1 u_2 f_1 + u_1 v_2 f_4 + u_1 f_7 + v_1 u_2 f_2 + v_1 v_2 f_5 \\ &+ v_1 f_8 + u_2 f_3 + v_2 f_6 + 1 = 0 \end{aligned} \quad (9)$$

即：

$$\begin{pmatrix} u_1 u_2 \\ v_1 u_2 \\ u_2 \\ u_1 v_2 \\ v_1 v_2 \\ v_2 \\ u_1 \\ v_1 \end{pmatrix}^T \begin{pmatrix} f_1 \\ f_2 \\ f_3 \\ f_4 \\ f_5 \\ f_6 \\ f_7 \\ f_8 \end{pmatrix} = -1 \quad (10)$$

$\rightarrow AX = l$

若有 8 对已配对的点对，即可求解常规的线性方程组即可解得矩阵 F ，若有多于 8 对已配对的点对，可使用最小二乘法求解：

$$X = (A^T A)^{-1} A^T l \quad (11)$$

求解出元素后，最后再拼得矩阵 F 。

当然，该系列作为 *Slam - Trick*，一定有一些优化求解的过程。首先，我们不得不承认，我们直接通过匹配算法得到的匹配关系有很大部分是错误的。当直接使用这些误匹配进行求解时，难免会对解算结果有影响。同时，我们会先对数据进行归一化处理，来增加估计的鲁棒性。

2.1.1 假设检验

一方面，我们首先基于先验的知识，对匹配进行过滤。我们首先找到匹配距离的最小值，然

后基于该值来判断其他匹配距离是否合理。具体来说，我们可以使用两倍的最小距离作为阈值进行过滤。当然，为了避免过滤得太多，我们用经验值 30 来作为阈值的下限。即：

$$\begin{cases} m_i \in newMatches, d_i < \max(30, 2d_{min}) \\ m_i \notin newMatches, d_i \geq \max(30, 2d_{min}) \end{cases}$$

这样，我们就基于原始的匹配关系，获得了更好的、用于估计基础矩阵的新匹配关系。当然，具体问题具体分析，阈值的设定可根据实际的应用场景进行修改。

另一方面，我们会基于已估计的基础矩阵（可以通过本质矩阵获得），对各个匹配关系进行假设检验。我们设：

$$\begin{cases} \begin{pmatrix} a & b & c \end{pmatrix} = p_2^T F \\ e = p_2^T F p_1 = a u_1 + b v_1 + c \end{cases}$$

如果我们假设特征点探测的误差满足方差为 1 的正态分布²，即：

$$\begin{cases} u_1 \sim N(\tilde{u}_1, 1^2) \\ v_1 \sim N(\tilde{v}_1, 1^2) \end{cases}$$

那么不难得到：

$$\begin{aligned} e &\sim N(0, a^2 + b^2) \\ \rightarrow Y = \frac{e^2}{a^2 + b^2} &\sim \mathcal{X}^2(1) \end{aligned} \quad (12)$$

但是，在提取特征的时候，我们为了保证特征点的尺度不变性，我们使用了图像金字塔，导致不同层提取得到的特征点的误差不同。越靠上层³，特征点探测的误差相对于第 1 层应该越大。假设相邻层之间的尺度因子⁴ $s_f = 1.2$ ，那么对于第 i 层来说，其特征点探测的误差应该为

$$\sigma_i^2 = 1.2^{2(i-1)}$$

²事实上这和具体使用的特征点检测算法有关。实验中，我们使用了 FAST 提取特征点，其误差为 1 像素。

³这里指的是图像被缩小得越厉害的层。

⁴即相邻上层相对于下层被缩小的倍数。

比如对于第 1 层, $i = 1$, $\sigma_1^2 = 1.0$; 对于第 2 层, $i = 2$, $\sigma_2^2 = 1.44$ 。以此类推。

如果我们以 0.75 作为显著性水平, 则对应的分位点为 1.323。换句话说, 当:

$$\begin{cases} m_i \in \text{goodMatches}, Y_i < 1.323\sigma_i^2 \\ m_i \notin \text{goodMatches}, Y_i \geq 1.323\sigma_i^2 \end{cases}$$

当然, 我们会检验两次。一次将 p_1 点重投影到第一帧上, 进行卡方检验, 另一次是将 p_2 点重投影到第二帧上, 进行卡方检验。对于不通过检验的点, 我们将其去除⁵, 而后重新计算参数, 直至所有“好的匹配”都通过的假设检验。

代码列表 1 为对特征点进行假设检验。在这个过程中, 我们对两次重投影都进行了检验。

Listing 1: 假设检验代码

```

1 Eigen::Vector3d p1(u1, v1, 1.0);
2 Eigen::Vector3d p2(u2, v2, 1.0);
3 Eigen::Matrix<double, 3, 1> temp1 = matF * p1;
4 Eigen::Matrix<double, 1, 3> temp2 = p2.transpose() *
    matF;
5
6 double a1 = temp1(0, 0), b1 = temp1(1, 0), c1 = temp1
    (2, 0);
7 double a2 = temp2(0, 0), b2 = temp2(0, 1), c2 = temp2
    (0, 2);
8
9 double num1 = a1 * u2 + b1 * v2 + c1;
10 double den1 = a1 * a1 + b1 * b1;
11
12 double num2 = a2 * u1 + b2 * v1 + c2;
13 double den2 = a2 * a2 + b2 * b2;
14
15 if (den1 == 0.0f || den2 == 0.0f) {
16     continue;
17 }
18
19 // reproject to frame 2
20 double statistics1 = num1 * num1 / den1;
21 // reproject to frame 1
22 double statistics2 = num2 * num2 / den2;
23
24 if (statistics1 < quantile * sigma2.at(kp2.octave) &&
25     statistics2 < quantile * sigma2.at(kp1.octave)) {
26     // current match is a good match
27     continue;

```

⁵在代码中, 我们是简单的将该匹配对应的系数矩阵行 $A.\text{row}(i)$ 置为 0。

2.1.2 归一化

为了使得估计更加鲁棒, 我们需要对数据进行归依化。首先我们会计算数据的均值和绝对标准差:

$$\begin{cases} p^m = \frac{1}{N} \sum_{i=0}^{N-1} p^i \\ p^d = \frac{1}{N} \sum_{i=0}^{N-1} |p^i - p^m| \\ p^s = \frac{1}{p^d} \end{cases}$$

而后, 我们计算:

$$\begin{aligned} p^{in} &= (p^i - p^m)p^s \\ \rightarrow \begin{pmatrix} u^{in} \\ v^{in} \\ 1 \end{pmatrix} &= \begin{pmatrix} u^s & 0 & -u^m u^s \\ 0 & v^s & -v^m v^s \\ 0 & 0 & 1 \end{pmatrix} \begin{pmatrix} u^i \\ v^i \\ 1 \end{pmatrix} \\ &\rightarrow p^{in} = Np^i \end{aligned}$$

p_i^n 就是 p_i 归一化之后的点。容易验证, 对于归一化之后的数据:

$$\begin{cases} \frac{1}{N} \sum_{i=0}^{N-1} p^{in} = \frac{p^s}{N} (\sum_{i=0}^{N-1} p^i - Np^m) = 0 \\ \frac{1}{N} \sum_{i=0}^{N-1} |p^{in}| = \frac{p^s}{N} \sum_{i=0}^{N-1} |p^i - p^m| = p^s p^d = 1 \end{cases}$$

代码列表 2 展示的是我们对原始的特征点进行的归一化操作。

Listing 2: 对原始的特征点归一化

```

1 // normalize
2 std::vector<Eigen::Vector2d> normKps1(matches.size()),
    normKps2(matches.size());
3 Eigen::Vector2d pm1 = Eigen::Vector2d::Zero(), pm2 = Eigen
    ::Vector2d::Zero();
4 Eigen::Vector2d pd1 = Eigen::Vector2d::Zero(), pd2 = Eigen
    ::Vector2d::Zero();
5
6 // compute the mean
7 for (int i = 0; i != matches.size(); ++i) {
8     const auto &match = matches.at(i);
9     const cv::KeyPoint &kp1 = kps1.at(match.queryIdx);
10    const cv::KeyPoint &kp2 = kps2.at(match.trainIdx);
11
12    normKps1.at(i) = Eigen::Vector2d(kp1.pt.x, kp1.pt.y);
13    normKps2.at(i) = Eigen::Vector2d(kp2.pt.x, kp2.pt.y);

```

```

14
15     pm1 += normKps1.at(i);
16     pm2 += normKps2.at(i);
17 }
18 std::cout << std::endl;
19 pm1 /= matches.size(), pm2 /= matches.size();
20
21 // compute the norm variance
22 for (int i = 0; i != matches.size(); ++i) {
23
24     normKps1.at(i) -= pm1;
25     normKps2.at(i) -= pm2;
26
27     const Eigen::Vector2d &nkp1 = normKps1.at(i);
28     const Eigen::Vector2d &nkp2 = normKps2.at(i);
29
30     pd1 += Eigen::Vector2d(std::abs(nkp1(0)), std::abs(nkp1
31         (1)));
32     pd2 += Eigen::Vector2d(std::abs(nkp2(0)), std::abs(nkp2
33         (1)));
34
35     pd1 /= matches.size(), pd2 /= matches.size();
36
37     double us1 = 1.0 / pd1(0), vs1 = 1.0 / pd1(1);
38     double us2 = 1.0 / pd2(0), vs2 = 1.0 / pd2(1);
39     double um1 = pm1(0), vm1 = pm1(1);
40     double um2 = pm2(0), vm2 = pm2(1);
41
42 // normalize variance
43 for (int i = 0; i != matches.size(); ++i) {
44     Eigen::Vector2d &nkp1 = normKps1.at(i);
45     Eigen::Vector2d &nkp2 = normKps2.at(i);
46
47     nkp1(0) *= us1, nkp1(1) *= vs1;
48     nkp2(0) *= us2, nkp2(1) *= vs2;
49 }
50
51 Eigen::Matrix3d N1 = Eigen::Matrix3d::Identity(), N2 =
52     Eigen::Matrix3d::Identity();
53 N1(0, 0) = us1, N1(0, 2) = -um1 * us1;
54 N1(1, 1) = vs1, N1(1, 2) = -vm1 * vs1;
55 N2(0, 0) = us2, N2(0, 2) = -um2 * us2;
56 N2(1, 1) = vs2, N2(1, 2) = -vm2 * vs2;

```

图 1 显示的是对特征点进行归一化前后的结果对比。

显然，由于在归一化之前的特征点满足：

$$p_2^{iT} F p_1^i = 0$$

所以归一化之后的特征点满足：

$$p_2^{inT} N_2^{-T} F N_1^{-1} p_1^{in} = 0$$

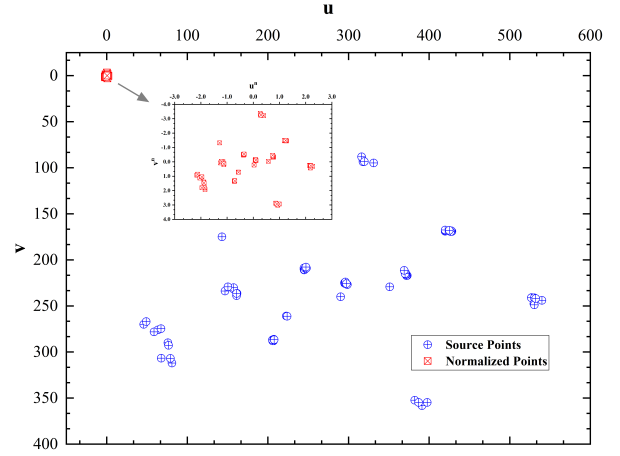


图 1: 对特征点进行归一化

故：

$$\begin{cases} F^n = N_2^{-T} F N_1^{-1} \\ F = N_2^T F^n N_1 \end{cases}$$

2.2 实验结果

在代码中，我们基于假设检验的粗差别除策略，估计基础矩阵 F 。首先我们基于经验对初始的匹配关系进行过滤。而后基于过滤后的匹配关系构建线性方程的系数矩阵。之后基于求解得到的参数，不断进行假设检验，直至所有“好的匹配”都通过的假设检验。

图 2 是本次实验使用的原始图片。以下是两种估计结果的对比：



(a) 原始图片一

(b) 原始图片二

图 2: 原始图片

1. OpenCV 估计

图 3 为使用 *OpenCV* 提供的函数，基于 8 点法进行的估计的参考匹配关系。

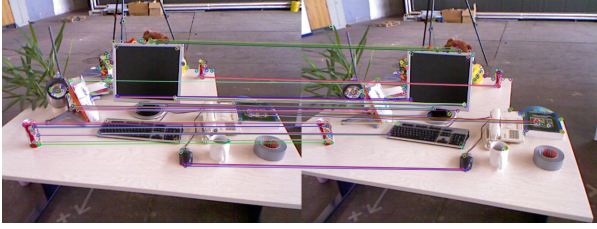


图 3: OpenCV 的匹配关系

列表 3 为估计的结果统计信息。具体的分析留在下文。

Listing 3: OpenCV 结果

```
1 {'cost time': 10.38270(MS)}
2 matched points: 75
3 essential matrix:
4 [0.009476120410375273, 0.2124514409709818,
   0.1143379074350115;
5  -0.1982554336303657, 0.03327101904283745,
   -0.669375737179301;
6  -0.06928586652949775, 0.6693726556233317,
   0.01910739912399924]
7 mean: -0.000195134
8 errorMeanNorm: 0.00124172
9 sigma: 0.00163348
```

2. 假设检验估计

图 4 为使用假设检验估计后得到的最佳匹配关系。其相较于 *OpenCV* 的匹配关系更少，但是足以估计基础矩阵 F 。

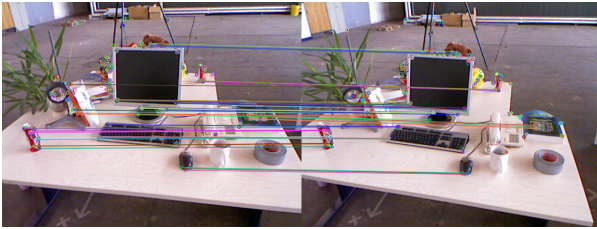


图 4: 假设检验的匹配关系

列表 4 为估计的结果统计信息。具体的分析留在下文。

Listing 4: 假设检验结果

```
1 {'cost time': 0.17586(MS)}
2 matched points: 59
3 essential matrix:
4 0.0238687 0.565404 0.213721
```

```
5 -0.509386 0.08651 -0.389609
6 -0.17464 0.429546 0.0176223
7 mean: 1.25362e-05
8 errorMeanNorm: 0.000383489
9 sigma: 0.000474903
```

在列表 3 和列表 4 中，罗列了一些事后的统计量。可以看到，*OpenCV* 耗时比假设检验多了将近 60 倍。*OpenCV* 使用了 75 个匹配关系进行估计，统计检验使用了 59 个匹配关系进行估计。*OpenCV* 的误差均值 (即公式 12 中的 e) 偏离真值 0 比假设检验多。*OpenCV* 的绝对误差均值和标准差比假设检验的要大。可见，在精确度方面，*OpenCV* 略占劣势，在效率上远不及假设检验⁶。

2.3 恢复运动

在求解得到本质矩阵 E 之后，我们可以对本质矩阵 E 进行 *SVD* 分解：

$$E = U\Sigma V^T$$

进而有四种解：

$$\begin{aligned} &\rightarrow \begin{cases} t_1^\wedge = UR_Z(\frac{\pi}{2})\Sigma U^T \\ R_1 = UR_Z^T(\frac{\pi}{2})V^T \end{cases} \\ &\rightarrow \begin{cases} t_2^\wedge = -UR_Z(\frac{\pi}{2})\Sigma U^T \\ R_2 = UR_Z^T(\frac{\pi}{2})V^T \end{cases} \\ &\rightarrow \begin{cases} t_3^\wedge = UR_Z(-\frac{\pi}{2})\Sigma U^T \\ R_3 = UR_Z^T(-\frac{\pi}{2})V^T \end{cases} \\ &\rightarrow \begin{cases} t_4^\wedge = -UR_Z(-\frac{\pi}{2})\Sigma U^T \\ R_4 = UR_Z^T(-\frac{\pi}{2})V^T \end{cases} \end{aligned}$$

其中 $R_Z(\frac{\pi}{2})$ 表示沿着 Z 轴旋转 90 度得到的旋转矩阵。当然，一般我们进行对本质矩阵 E 的 *SVD* 时，理论上矩阵 $\Sigma = \text{diag}(\sigma, \sigma, 0)$ ，但

⁶我们认为这会对效率产生较大的影响。

是实际情况会有差别，这时我们可以重新构造矩阵 $\Sigma = \text{diag}(\frac{\sigma_1+\sigma_2}{2}, \frac{\sigma_1+\sigma_2}{2}, 0)$ 。

但是运动是唯一的，上述四种解中只有一个正确的。所以我们还需要对某个匹配点对进行三角化，求解其深度，进而排除三个误解，得到最终的解。

列表 5 为使用本质矩阵 E 来实现的运动恢复。在代码中，我们首先对本质矩阵 E 进行 SVD 分解，然后构造四种解的情况，并逐一通过三角化的方式进行检查。一旦发现符合满足条件的解，则返回结果。

Listing 5: 恢复运动

```
1 namespace ns_st2 {
2     /**
3      * @brief recovery the movement from the essential matrix
4      *
5      * @param eMatrix the essential matrix
6      * @param K the camera's inner paramters
7      * @param kp1 the key point in first frame
8      * @param kp2 the key point in second frame
9      * @param rot21 rotation matrix from first frame to second
10     frame
11     * @param t21 translation matrix from first frame to second
12     frame
13     * @return true the process is successful
14     * @return false the process is failed
15     */
16 static bool recoveryMove(
17     const Eigen::Matrix3f &eMatrix,
18     const Eigen::Matrix3f &K,
19     const cv::KeyPoint &kp1,
20     const cv::KeyPoint &kp2,
21     Eigen::Matrix3f &rot21,
22     Eigen::Vector3f &t21) {
23     // SVD decomposition
24     Eigen::JacobiSVD<Eigen::Matrix3f> svd(eMatrix.normalized(),
25     Eigen::ComputeFullU | Eigen::ComputeFullV);
26     Eigen::Vector3f singularVal = svd.singularValues();
27     Eigen::Matrix3f uMatrix = svd.matrixU();
28     Eigen::Matrix3f vMatrix = svd.matrixV();
29
30     if (uMatrix.determinant() < 0.0f) {
31         uMatrix *= -1.0f;
32     }
33     if (vMatrix.determinant() < 0.0f) {
34         vMatrix *= -1.0f;
35     }
36
37     // normalize sigma matrix
```

```
float sigma = 0.5f * (singularVal(0) + singularVal(1));
Eigen::Matrix3f sigmaMatrix = Eigen::Matrix3f::Zero();
sigmaMatrix(0, 0) = sigmaMatrix(1, 1) = sigma;

// temp matrices
Eigen::Matrix3f pRotMat = Eigen::Matrix3f::Zero();
pRotMat(0, 1) = -1.0f, pRotMat(1, 0) = 1.0, pRotMat(2, 2)
    = 1.0f;

Eigen::Matrix3f nRotMat = Eigen::Matrix3f::Zero();
nRotMat(0, 1) = 1.0f, nRotMat(1, 0) = -1.0, nRotMat(2, 2)
    = 1.0f;

// to normalize a rotation matrix
auto normRot = [](Eigen::Matrix3f &rot) -> void {
    // for loop two times
    for (int i = 0; i != 2; ++i) {
        // normalize rows
        Eigen::Vector3f row1 = rot.row(0);
        Eigen::Vector3f row2 = rot.row(1).normalized();
        Eigen::Vector3f row3 = row1.cross(row2).normalized();
        row1 = row2.cross(row3);
        rot.row(0) = row1;
        rot.row(1) = row2;
        rot.row(2) = row3;

        // normalize cols
        Eigen::Vector3f col1 = rot.col(0);
        Eigen::Vector3f col2 = rot.col(1).normalized();
        Eigen::Vector3f col3 = col1.cross(col2).normalized();
        col1 = col2.cross(col3);
        rot.col(0) = col1;
        rot.col(1) = col2;
        rot.col(2) = col3;
    }
};

// check a solution is right
auto checkSolution = [&kp1, &kp2, &K, &rot21, &t21](const
    Eigen::Matrix3f &rot, const Eigen::Vector3f &t) ->
    bool {
    // compute the depth
    std::pair<float, float> depth = triangulation(kp1, kp2, K
        , rot, t);

    // if two values are positive
    if (depth.first > 0.0f && depth.second > 0.0f) {
        rot21 = rot;
        t21 = t;
        return true;
    } else {
        return false;
    }
};

// different solutions
// solution 1
```



```

88 Eigen::Matrix3f R1 = uMatrix * pRotMat.transpose() *
    vMatrix.transpose();
89 normRot(R1);
90 Eigen::Vector3f t1 = ns_st0::antisymmetric(Eigen::Matrix3f
    (uMatrix * pRotMat * sigmaMatrix * uMatrix.transpose
    ())).normalized();
91 if (checkSolution(R1, t1)) {
92     return true;
93 }
94
95 // solution 2
96 Eigen::Matrix3f R2 = R1;
97 Eigen::Vector3f t2 = -t1;
98 if (checkSolution(R2, t2)) {
99     return true;
100 }
101
102 // solution 3
103 Eigen::Matrix3f R3 = uMatrix * nRotMat.transpose() *
    vMatrix.transpose();
104 normRot(R3);
105 Eigen::Vector3f t3 = ns_st0::antisymmetric(Eigen::Matrix3f
    (uMatrix * nRotMat * sigmaMatrix * uMatrix.transpose
    ())).normalized();
106 if (checkSolution(R3, t3)) {
107     return true;
108 }
109
110 // solution 4
111 Eigen::Matrix3f R4 = R3;
112 Eigen::Vector3f t4 = -t3;
113 if (checkSolution(R4, t4)) {
114     return true;
115 }
116
117 return false;
118 }
119 } // namespace ns_st2

```

列表 8 为基于上文获得的本质矩阵解算得到的位姿变换。

Listing 6: 解算结果

```

1 rotation matrix
2 0.994912 -0.0930117 0.0387284
3 0.0912133 0.994774 0.045872
4 -0.0427926 -0.0421061 0.998196
5 translation vector
6 -0.554473 -0.284364 0.78211

```

3 三角化

我们已知 4 中的旋转矩阵和平移向量，所以可在其基础上左乘 X_2 对应的反对称矩阵 X_2^\wedge 。即：

$$0 = s_2 X_2^\wedge X_2 = s_1 X_2^\wedge R_{21} X_1 + X_2^\wedge t_{21}$$

如果令：

$$\begin{cases} A = X_2^\wedge R_{21} X_1 \\ l = -X_2^\wedge t_{21} \end{cases}$$

那么 s_1 可由最小二乘法求解得到：

$$s_1 = (A^T A)^{-1} A^T l \quad (13)$$

求解得到 s_1 后，可同样采用最小二乘法求解 s_2 ：

$$\begin{cases} B = X_2 \\ m = s_1 R_{21} X_1 + t_{21} \\ s_2 = (B^T B)^{-1} B^T m \end{cases} \quad (14)$$

由此，该匹配对所对应的空间点在相机 1 的坐标系下的坐标为 $P_1 = s_1 X_1$ ，在相机 2 的坐标系下的坐标为 $P_2 = s_2 X_2$ 。

列表 7 为三角化的代码。我们实现了两个版本、不同参数的接口，其中第二个版本是依托于第一个版本实现的。在第一个版本中，我们先使用最小二乘法计算点在第一个相机中的深度 s_1 ，而后再计算点在第二个相机中的深度 s_2 。很明显，第一个版本效率更高，但是第二个版本使用更简单。

Listing 7: 三角化

```

1 namespace ns_st2 {
2     /**
3      * @brief to tringular a pair points on the normalized
4      *       coordinate
5      *
6      * @param X1 the point on the first camera's normalized
7      *       coordinate
8      * @param X2 the point on the second camera's normalized
9      *       coordinate
10     * @param rot21 the rotation from first camera to second
11     *       camera

```

```

8  * @param t21 the translation from first camera to second
   camera
9  * @param P1 the point on the first camera's coordinate
10 * @param P2 the point on the second camera's coordinate
11 * @return std::pair<float, float> the depth pair
12 */
13 static std::pair<float, float> triangulation(
14     const Eigen::Vector3f &X1,
15     const Eigen::Vector3f &X2,
16     const Eigen::Matrix3f &rot21,
17     const Eigen::Vector3f &t21,
18     Eigen::Vector3f *P1 = nullptr,
19     Eigen::Vector3f *P2 = nullptr) {
20
21     // the depth
22     float s1, s2;
23
24     // to solve s1
25     Eigen::Vector3f aVec = ns_st0::antisymmetric(X2) * rot21 *
        X1;
26     Eigen::Vector3f lVec = -ns_st0::antisymmetric(X2) * t21;
27     s1 = ((aVec.transpose() * aVec).inverse() * aVec.transpose
        () * lVec)(0, 0);
28
29     // to solve s2
30     Eigen::Vector3f bVec = X2;
31     Eigen::Vector3f mVec = s1 * rot21 * X1 + t21;
32     s2 = ((bVec.transpose() * bVec).inverse() * bVec.transpose
        () * mVec)(0, 0);
33
34     if (P1 != nullptr) {
35         *P1 = s1 * X1;
36     }
37
38     if (P2 != nullptr) {
39         *P2 = s2 * X2;
40     }
41
42     return {s1, s2};
43 }
44
45 /**
46  * @brief to triangulate a pair of points on the pixel coordinate
47  *
48  * @param P1 the point on the first camera's pixel
49  coordinate
50  * @param P2 the point on the second camera's pixel
51  coordinate
52  * @param K the camera's inner parameter matrix
53  * @param rot21 the rotation from first camera to second
54  camera
55  * @param t21 the translation from first camera to second
56  camera
57  * @param P1 the point on the first camera's coordinate
58  * @param P2 the point on the second camera's coordinate
59  * @return std::pair<float, float> the depth pair
60  */

```

```

57 static std::pair<float, float> triangulation(
58     const cv::KeyPoint &p1,
59     const cv::KeyPoint &p2,
60     const Eigen::Matrix3f &K,
61     const Eigen::Matrix3f &rot21,
62     const Eigen::Vector3f &t21,
63     Eigen::Vector3f *P1 = nullptr,
64     Eigen::Vector3f *P2 = nullptr) {
65     Eigen::Vector3f X1 = K.inverse() * Eigen::Vector3f(p1.pt.x
        , p1.pt.y, 1.0f);
66     Eigen::Vector3f X2 = K.inverse() * Eigen::Vector3f(p2.pt.x
        , p2.pt.y, 1.0f);
67     return triangulation(X1, X2, rot21, t21, P1, P2);
68 }
69 } // namespace ns_st2

```

例如，我们上文在解算运动的时候使用到了三角化，当时使用的点的深度如下所示⁷：

Listing 8: 解算结果

```

1 point's depth which used to check solution
2 6.04497, 6.87744

```

4 GitHub

以下链接为该项目在 *GitHub* 上的地址，点击他，克隆它，使用它：

<https://github.com/Unsigned-Long/slam-tricks/tree/master/st2-epipolar>

⁷注意：由于单目相机尺度不确定，所以我们将解算得到的平移向量规范化。换句话说，表中的深度的单位是 1(个初始解算平移向量)。